

РОЖДЕНИЕ ОЧАРОВАННЫХ МЕЗОНОВ В СТОЛКНОВЕНИЯХ СВИНЦА НА БОЛЬШОМ АДРОННОМ КОЛЛАЙДЕРЕ В МОДЕЛИ HYDJET++

Г. Х. Эйюбова^{1,*}, И. П. Лохтин¹, А. В. Беляев¹,
Г. Пониматкин², Е. Ю. Пронина¹

¹ Научно-исследовательский институт ядерной физики им. Д. В. Скobelьцына
Московского государственного университета им. М. В. Ломоносова, Москва

² Технический лицей, Остров, Чехия

Представлены результаты феноменологического анализа рождения J/ψ - и D -мезонов в столкновениях ионов свинца при энергии в системе центра масс 2,76 ТэВ на пару нуклонов, проведенного в рамках двухкомпонентной модели HYDJET++, включающей термальный и нетермальный механизмы рождения. Установлено, что значительная часть D -мезонов находится в кинетическом равновесии с образовавшейся материйей, в то время как J/ψ -мезоны характеризуются ранним (по сравнению с легкими адронами) вымораживанием.

The phenomenological analysis of J/ψ and D mesons production in Pb–Pb collisions at the center-of-mass energy of 2.76 TeV per nucleon pair is fulfilled in the framework of the two-component HYDJET++ model, which includes thermal and nonthermal production mechanisms. A significant part of D mesons is found to be in a kinetic equilibrium with the created medium, while J/ψ mesons are characterized by earlier (as compared to light hadrons) freeze-out.

PACS: 25.75.Ld; 24.10.Nz; 25.75.Bh

ВВЕДЕНИЕ

Для исследования свойств кварк-глюонной материи, образующейся в столкновении релятивистских ядер, используются различного рода сигналы, одними из которых являются процессы с рождением тяжелых кварков. Тяжелые кварки преимущественно рождаются в жестких партон-партонах взаимодействиях и при прохождении через плотную горячую среду взаимодействуют с ее конституентами. С другой стороны, мягкие механизмы рождения очарованных адронов могут быть существенны при энергиях LHC.

*E-mail: eiiubova@lav01.sinp.msu.ru

РОЖДЕНИЕ ОЧАРОВАННЫХ МЕЗОНОВ В СТОЛКНОВЕНИЯХ ИОННОВ СВИНЦА ПРИ $\sqrt{s_{NN}} = 2,76$ ТэВ И МОДЕЛЬ HYDJET++

Генератор столкновений релятивистских ядер HYDJET++ [1] состоит из двух компонент: термальной (мягкое рождение адронов) и нетермальной (жесткие процессы рождения партонов в КХД с последующей модификацией спектра в среде и адронизацией). В мягкой компоненте моделируется рождение адронов на гиперповерхностях химического и термального вымораживания релятивистской жидкости, полученных с помощью параметризации релятивистской гидродинамики. Жесткая компонента основана на модели PYQUEN [2]. Вклад жесткой компоненты в общую множественность регули-

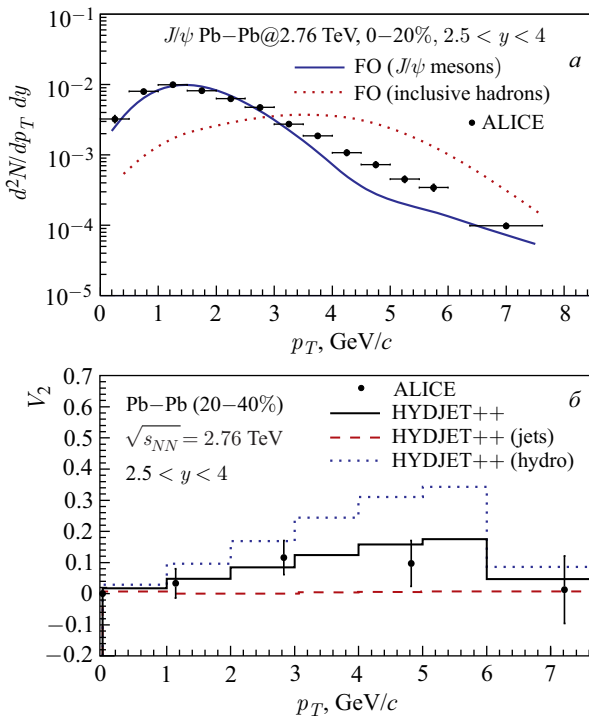


Рис. 1. *a)* Спектр J/ψ -мезонов по p_T для быстрот $2,5 < y < 4$ в столкновениях $Pb-Pb$ с центральностями $0-20\%$ при $\sqrt{s_{NN}} = 2,76$ ТэВ: данные [3] — точки; результаты моделирования HYDJET++ с параметрами вымораживания, как для инклузивных адронов — пунктирная линия, раннего термального вымораживания — сплошная. *б)* Эллиптический поток $v_2(p_T)$ J/ψ -мезонов при $2,5 < y < 4$ в столкновениях $Pb-Pb$ с центральностью $20-40\%$, $\sqrt{s_{NN}} = 2,76$ ТэВ: данные [4] — точки; моделирование HYDJET++ с мягкой компонентой — пунктирная линия, с жесткой компонентой — штриховая, с суммой компонент — сплошная

руется параметром p_T^{\min} — минимальным переданным поперечным импульсом партон-партона рассеяния. На рис. 1, *a* представлено сравнение результатов моделирования с данными [3] для спектра по p_T инклюзивных J/ψ -мезонов в столкновениях Pb–Pb в диапазоне центральности 0–20 % с двумя наборами входных параметров: 1) такими же, как для инклюзивных адронов (температуры химического и термального вымораживания $T_{ch} = 165$ МэВ и

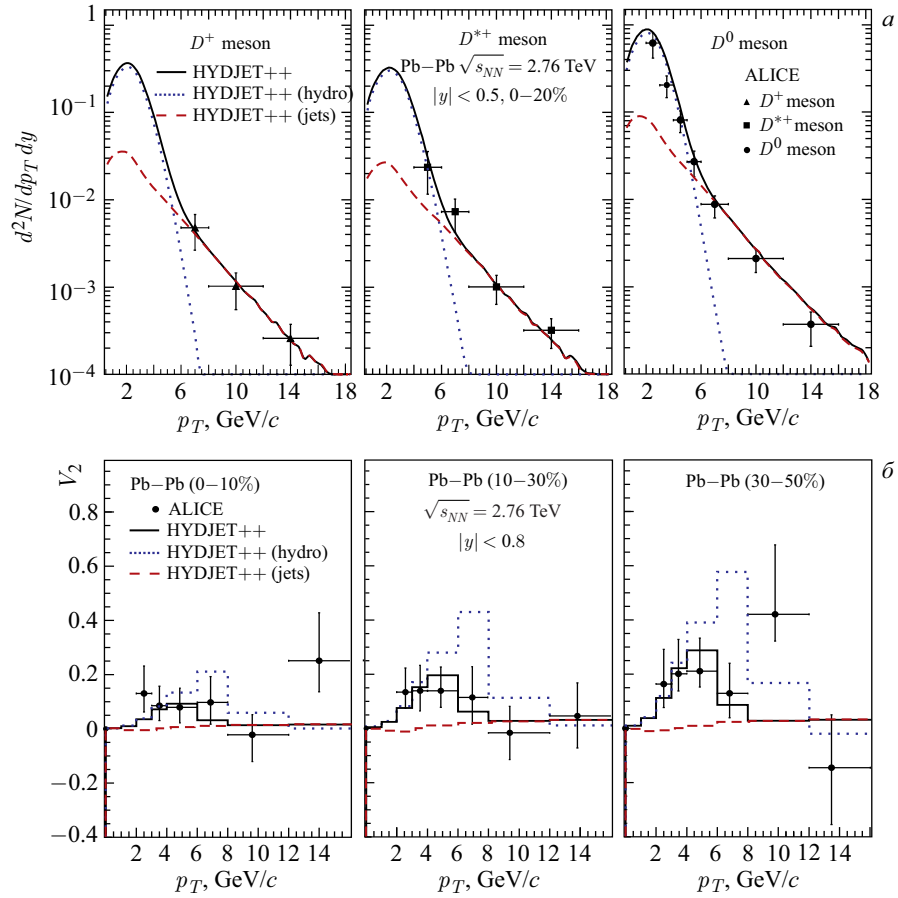


Рис. 2. *a*) Спектры по p_T D^{\pm} -, $D^{*\pm}$ -, D^0 -мезонов для $|y| < 0,5$ в столкновениях Pb–Pb с центральностями 0–20 % при $\sqrt{s_{NN}} = 2,76$ ТэВ: данные [5] — точки; результаты моделирования HYDJET++ с мягкой компонентой — пунктирная линия, с жесткой компонентой — штриховая, с общим спектром — сплошная. *б*) $v_2(p_T)$ D^0 -мезонов для $|y| < 0,8$ в столкновениях Pb–Pb с центральностями: 0–10 %, 10–30 %, 30–50 %: данные [6] — точки; результаты моделирования HYDJET++ — пунктирная, штриховая и сплошная линии

$T_{\text{th}} = 105$ МэВ, максимальные продольная и поперечная быстроты потока $Y_L^{\max} = 4,5$ и $Y_T^{\max} = 1,265$, $p_T^{\min} = 8,2$ ГэВ/ c); 2) для раннего кинетического вымораживания ($T_{\text{ch}} = T_{\text{th}} = 165$ МэВ, $Y_L^{\max} = 2,3$, $Y_T^{\max} = 0,6$, $p_T^{\min} = 3,0$ ГэВ/ c). Смоделированные спектры описывают экспериментальные данные (до $p_T \sim 3$ ГэВ/ c) только в предположении раннего термального вымораживания. Также было найдено, что эллиптический поток в зависимости от поперечного импульса $v_2(p_T)$ для инклузивных J/ψ -мезонов [4] описывается со вторыми параметрами (рис. 1, б). При больших значениях p_T необходимо настраивать параметры в жесткой компоненте модели для лучшего описания рождения чармония. Следует отметить, что модель не учитывает эффект цветового экранирования связанных пар тяжелых кварков в кварк-глюонной материи. В отличие от J/ψ -мезонов данные для спектров по p_T D -мезонов [5] хорошо описываются с теми же параметрами вымораживания, что и для инклузивных адронов (рис. 2, а). Также с этими параметрами воспроизводятся данные по $v_2(p_T)$ [6] (рис. 2, б).

ЗАКЛЮЧЕНИЕ

Экспериментальные данные по импульсным спектрам и эллиптическому потоку очарованных мезонов при энергии LHC воспроизводятся моделью HYDJET++ в предположении, что кинетическое вымораживание D -мезонов происходит одновременно с кинетическим вымораживанием легких адронов, в то время как кинетическое вымораживание J/ψ -мезонов происходит значительно раньше, предположительно в момент химического вымораживания. Таким образом, существенная часть D -мезонов (вплоть до $p_T \sim 4$ ГэВ/ c), в отличие от J/ψ -мезонов, находится в кинетическом равновесии с образованной в столкновении Pb–Pb горячей адронной материйей. Это может указывать на то, что сечение взаимодействия D -мезонов становится сравнимым с сечением взаимодействия легких адронов, а сечение J/ψ -мезонов остается существенно меньшим.

Авторы благодарят за плодотворное сотрудничество и обсуждения Я. Бельчика, Л. В. Бравину, А. И. Демьянова, В. Л. Коротких, Л. В. Малинину, А. М. Снигирева, Е. Е. Забродина и С. В. Петрушенко.

Работа поддержана грантом РНФ № 14-12-00110 в части моделирования спектров и эллиптического потока J/ψ - и D -мезонов.

СПИСОК ЛИТЕРАТУРЫ

1. *Lokhtin I. P. et al.* Heavy Ion Event Generator HYDJET++ (HYDrodynamics Plus JETs) // Comp. Phys. Commun. 2009. V. 180. P. 779.
2. *Lokhtin I. P., Snigirev A. M.* A Model of Jet Quenching in Ultrarelativistic Heavy Ion Collisions and High- p_T Hadron Spectra at RHIC // Eur. Phys. J. C. 2006. V. 45. P. 211.

-
3. Adam J. et al. (*ALICE Collab.*). Differential Studies of Inclusive J/ψ and $\psi(2S)$ Production at Forward Rapidity in Pb–Pb Collisions at $\sqrt{s_{NN}} = 2.76$ TeV. arXiv:1506.08804. 2015.
 4. Abbas E. et al. (*ALICE Collab.*). J/ψ Elliptic Flow in Pb–Pb Collisions at $\sqrt{s_{NN}} = 2.76$ TeV // Phys. Rev. Lett. 2013. V. 111. P. 162301.
 5. Abelev B. et al. (*ALICE Collab.*). Suppression of High Transverse Momentum D Mesons in Central Pb–Pb Collisions at $\sqrt{s_{NN}} = 2.76$ TeV // JHEP. 2012. V. 09. P. 112.
 6. Abelev B. et al. (*ALICE Collab.*). Azimuthal Anisotropy of D -meson Production in Pb–Pb Collisions at $\sqrt{s_{NN}} = 2.76$ TeV // Phys. Rev. C. 2014. V. 90. P. 034904.